

С 448

Н-837

ОБЪЕДИНЕННЫЙ  
ИНСТИТУТ  
ЯДЕРНЫХ  
ИССЛЕДОВАНИЙ

Дубна

23/XI-67

P12 - 3529



Ю.В. Норсеев, В.А. Халкин

Монография ядерных проблем

ОПРЕДЕЛЕНИЕ УСТОЙЧИВОСТИ  
ХЛОРИДНЫХ КОМПЛЕКСОВ ОДНОВАЛЕНТНОГО  
КАТИОНА АСТАТА В АЗОТНОКИСЛЫХ РАСТВОРАХ

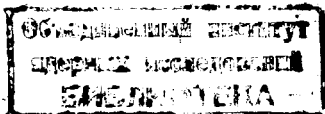
1967.

P12 - 3529

10. В. Норсеев, В.А. Халкин

ОПРЕДЕЛЕНИЕ УСТОЙЧИВОСТИ  
ХЛОРИДНЫХ КОМПЛЕКСОВ ОДНОВАЛЕНТНОГО  
КАТИОНА АСТАТА В АЗОТНОКИСЛЫХ РАСТВОРАХ

Направлено в Inorganic Nuclear Chemistry



В растворах азотной кислоты, содержащих бихромат, астат образует неопределенный по составу устойчивый одновалентный катион  $\text{At}(\cdot)^{+1/1}$ . При изучении химических свойств этого иона было найдено, что он связывается в присутствии хлоридов в относительно прочные анионные комплексы<sup>/2,3/</sup>.

На основании анализа экспериментальных данных об отрицательном влиянии соляной кислоты на адсорбцию катиона астата металлической платиной из  $1 \text{ M HNO}_3 - 5 \cdot 10^{-3} \text{ M H}_2\text{Cr}_2\text{O}_7$ , было показано, что при содержании  $2 \cdot 10^{-3} \text{ M} < [\text{HCl}] < 2 \cdot 10^{-2} \text{ M}$  вероятное число аддендов в образующемся хлоридном комплексе – два, а его константа устойчивости  $\beta_2 = 7,5 \cdot 10^5 \text{ M}^{-2/3}$ . Однако полученное значение следует рассматривать только как предварительную оценку из-за ряда допущений, сделанных при расчете этой величины. Желательно было рассчитать константы устойчивости хлоридных комплексов катиона астата, исходя из данных, полученных каким-либо другим способом.

Настоящая работа посвящена решению этой задачи методом катионного обмена, который в данном случае, вероятно, является единственным возможным.

### Экспериментальная часть

Астат получался по реакциям глубокого расщепления тория протонами с энергией 660 Мэв. Для приготовления его радиохимически чистых препаратов использовалась ранее разработанная методика<sup>/3/</sup>, схема которой приведена на рис. 1.

Для контроля за чистотой препаратов астата снимались их гамма- и альфа-спектры на многоканальных спектрометрах с германиево-литиевыми и кремниевыми детекторами и измерялись с помощью сцинтилляционных счетчиков с

кристаллами  $\text{NaJ}(\text{Tl})$  периоды полураспада. При анализе полученных данных в препаратах астата не были найдены радиоактивные загрязнения. Возможный верхний предел загрязнений к моменту окончания выделения составляет  $< 0,1\%$  от радиоактивности изотопов астата.

Астат в препарате, полученном после анодного растворения (1,5–2 мл), восстанавливался при нагревании 1–2 каплями насыщенного водного раствора  $\text{SO}_2$  и затем окислялся в течение получаса бихроматом при  $100^\circ\text{C}$ . Исходный раствор астата, использовавшийся в дальнейших опытах, был  $0,5 \text{ M HNO}_3$  –  $-0,01 \text{ M H}_2\text{Cr}_2\text{O}_7$ ,  $\approx 0,5 \text{ M C}/\text{мл}$ .

Определение коэффициентов распределения катиона астата между смолой и раствором ( $K_d$ ) выполнялось динамическим методом на колонках диаметром 2 мм и высотой 100 мм, заполненных сульфокатионитом Дауэкс 50x8 сферической формы, 200–400 меш. Вес смолы в колонках (g)  $102 \pm 2$  мг, в пересчете на абсолютно сухой катионит. Свободный объем колонок ( $V_{\text{св}}$ ) составлял  $0,10$ – $0,13$  мл.

Перед загрузкой в колонки ионит отмывался от следов возможных восстановителей последовательно  $0,1 \text{ M } (\text{NH}_4)_2\text{Ce}(\text{NO}_3)_6$  –  $3 \text{ M HNO}_3$  и  $0,01 \text{ M H}_2\text{Cr}_2\text{O}_7$  –  $-3 \text{ M HNO}_3$ . Далее смола промывалась бидистиллятом и высушивалась при  $60^\circ\text{C}$ .

Вся работа была выполнена на одних и тех же колонках без замены смолы. Перед очередным определением катионит в колонке промывался  $3 \text{ M HNO}_3$  –  $-5 \cdot 10^{-3} \text{ M H}_2\text{Cr}_2\text{O}_7$  (5 мл) и тем элюентом, для которого определялось  $K_d$ . Следы этого раствора удалялись капилляром до уровня ионита и в колонку вносились  $0,025$ – $0,05$  мл исходного раствора астата. Элюирование проводилось со скоростью  $\approx 3 \text{ ml/cm}^2 \text{ мин}$  (3 капли/мин). Вытекающий раствор собирался отдельными фракциями, радиоактивность которых измерялась спиритуационным счетчиком с кристаллом  $\text{NaJ}(\text{Tl})$  в геометрии, близкой к  $4\pi$ . По результатам измерений определялся объем элюента, соответствующий максимуму на кривой вымывания ( $V_{\text{макс}}$ ). Коэффициенты распределения рассчитывались по обычной формуле:  $K_d = (V_{\text{макс}} - V_{\text{св}})/g$ . Для каждого элюирующего раствора проводилось не менее пяти определений значения  $K_d$  на различных колонках. Все экспериментальные величины, приведенные в таблицах и на графиках, даны со среднеквадратичной ошибкой. Растворы  $\text{HNO}_3$  –  $\text{HCl}$  –  $\text{H}_2\text{Cr}_2\text{O}_7$ , готовились

непосредственно перед опытом. Контрольными определениями, выполненными методом потенциометрической концентрационной ячейки<sup>74</sup>, было показано, что миллимOLEКУЛЯРНЫЕ концентрации HCl в элюентах остаются постоянными в течение нескольких дней.

Для получения хорошо воспроизводимых результатов при подготовке эксперимента принимались меры предосторожности против случайных загрязнений реагентов, посуды и рабочих мест малыми количествами хлоридов.

### Результаты и обсуждение

Константы устойчивости хлоридных комплексов астата рассчитывались нами из зависимости  $\alpha_0 = K_d / K_{d_0} = f([Cl^-])$ , где  $K_d$  - измеренный коэффициент распределения астата между катионитом и раствором, содержащим HCl,  $K_{d_0}$  - та же величина в отсутствии комплексообразователя<sup>15</sup>.

После серии предварительных опытов для измерений  $K_d$  были выбраны системы  $0,5 \text{ M } HNO_3 - 5 \cdot 10^{-3} \text{ M } H_2Cr_2O_7 - n \text{ M HCl}$ , где  $2 \cdot 10^{-3} \text{ M HCl} \leq n \leq 8 \cdot 10^{-3} \text{ M HCl}$ . При меньших концентрациях незначительные неточности при подготовке растворов, содержащих HCl, приводят к резким изменениям  $K_d$  x), а при более высоких растет относительная ошибка определения из-за малых значений  $K_d$ .

Для достоверного определения  $K_{d_0}$  его значения были измерены в интервале концентраций  $HNO_3$  от  $0,42 \text{ M}$  до  $1,35 \text{ M}$ . В координатах  $\lg 1/K_{d_0} - \lg [HNO_3]$  экспериментальные точки очень хорошо ложатся на прямую с тангенсом угла наклона к оси абсцисс 1,35 (рис. 2), что характерно для одновалентных катионов: по нашим определениям эта величина для  $Cs^{+1}$  и  $Tl^{+1}$  равна  $1,4/1,6$ . Из графика, приведенного на рис. 2, интерполяцией было определено, что значение  $K_{d_0}$  в растворе  $0,5 \text{ M } HNO_3 - 5 \cdot 10^{-3} \text{ M } H_2Cr_2O_7$ , равно 80xx).

Экспериментальные значения  $K_d$  и  $\alpha_0$  приведены в таблице 1.

x)  $K_d \approx K_{d_0} e^{-6 \cdot 10^2 [HCl]}$  при  $[HCl] < 3 \cdot 10^{-3}$ .

xx) Это и другие значения  $K_{d_0}$  несколько выше, чем приведенные в работе<sup>1/1</sup>. Такое расхождение можно объяснить меньшей динамической емкостью смолы и загрязнением элюентов хлоридами ( $\approx 5 \cdot 10^{-4} \text{ M}$ ) в ранее выполненных опытах.

Т а б л и ц а 1

Распределение астата между катионитом Дауэкс 50x8 и 0,5 М HNO<sub>3</sub> - n M HCl  
 $- 5 \cdot 10^{-3}$  М H<sub>2</sub>Cr<sub>2</sub>O<sub>7</sub>, K<sub>d0</sub> = 80

[HCl]	K <sub>d</sub>	$\alpha_0 = K_d / K_{d0}$
2 · 10 <sup>-3</sup>	24,3 ± 4,4	0,3 ± 0,055
3 · 10 <sup>-3</sup>	14,4 ± 0,5	0,18 ± 0,006
4 · 10 <sup>-3</sup>	10,5 ± 0,7	0,13 ± 0,01
5 · 10 <sup>-3</sup>	7,5 ± 0,5	0,09 ± 0,006
6 · 10 <sup>-3</sup>	5,8 ± 0,8	0,07 ± 0,01

Грубое графическое дифференцирование кривой  $\lg \alpha_0 = f(\lg [HCl])$  показывает, что в нашем случае в выбранном интервале концентраций комплексообразователя лигандное число  $n \approx 1,5$ . Следовательно, наиболее вероятное максимальное число аддендов в хлоридном комплексе катиона астата 2. Такое предположение позволяет воспользоваться для расчета первой ( $\beta_1$ ) и второй ( $\beta_2$ ) константами устойчивости простой линейной зависимостью:

$$(1 - \alpha_0)/\alpha_0[HCl] = \beta_1 + \beta_2[HCl] \quad /5 \text{ стр. 118/}.$$

На рис. 3 в координатах  $(1 - \alpha_0)/\alpha_0[HCl] - [HCl]$  приведены точки, рассчитанные по данным таблицы 1. Прямая через эти точки была проведена по методу наименьших квадратов. Из наклона прямой и ее пересечения с осью ординат следует, что константа устойчивости первого хлоридного комплекса астата

$$\beta_1 = [At(?)Cl]/[At(?)^{+1}][Cl^{-1}] = 7 \cdot 10^2 \text{ M}^{-1}, \text{ а второго -}$$

$$\beta_2 = [At(?)Cl_2^{-1}]/[At(?)^{+1}][Cl^{-1}]^2 = 2,5 \cdot 10^5 \text{ M}^{-2}.$$

Относительные стандартные отклонения этих значений ±12%.

Найденные константы устойчивости, вероятно, близки к истинным, так как рассчитанные с их помощью K<sub>d</sub> для растворов с различными концентрациями HNO<sub>3</sub> и HCl хорошо совпадают с экспериментальными (таблица 2).

Таблица 2

Расчетные и экспериментальные коэффициенты распределения астата между катионитом Дауэкс 50x8 и растворами  $\text{HNO}_3 - \text{HCl} - 5 \cdot 10^{-3} \text{ M H}_2\text{Cr}_2\text{O}_7$ ,

$[\text{HNO}_3]$	$[\text{HCl}]$	$K_{d_0}^*)$	$K_d$ расч.	$K_d$ эксп.
0,22	$5 \cdot 10^{-3}$	238	22	$23 \pm 1$
0,33	$5 \cdot 10^{-3}$	141	13	$12 \pm 0,5$
0,43	$5 \cdot 10^{-3}$	97	9	$8 \pm 0,2$
0,65	$4,5 \cdot 10^{-3}$	55,5	6	$6,1 \pm 0,2$
0,8	$3 \cdot 10^{-3}$	43,5	8	$9,2 \pm 0,6$

x) Значения  $K_{d_0}$  экстраполированы и интеполированы из графика на рис. 1.

Полученные нами данные о свойствах астата, к сожалению, никак нельзя сравнивать с подобными данными о других галлоидах, с одной стороны, потому, что для них таких данных нет, а с другой, – нам неизвестен химический состав одно-зарядного положительного иона астата в азотнокислых бихроматосодержащих растворах.

Авторы считают своим приятным долгом выразить благодарность А.М. Акимовой и В.И. Кузину за большую помощь при проведении эксперимента.

### Заключение

1. Методом ионного обмена на колонках, заполненных катионитом Дауэкс 50x8, были определены коэффициенты распределения однозарядного положительно-го иона астата в  $(0,42 - 1,35) \text{ M HNO}_3 - 5 \cdot 10^{-3} \text{ M H}_2\text{Cr}_2\text{O}_7$ , и в растворах  $0,5 \text{ M HNO}_3 - (4 \pm 2) \cdot 10^{-3} \text{ M HCl} - 5 \cdot 10^{-3} \text{ M H}_2\text{Cr}_2\text{O}_7$ .

2. Из полученных данных следовало, что в выбранных экспериментальных условиях катион астата образует комплексы с одним и двумя анионами хлора, константы устойчивости которых  $\beta_1 = 7 \cdot 10^2 \text{ M}^{-1}$  и  $\beta_2 = 2,5 \cdot 10^5 \text{ M}^{-2}$ .

3. Коэффициенты распределения, рассчитанные с помощью этих констант для растворов с различной концентрацией  $\text{HNO}_3$  и  $\text{HCl}$ , хорошо совпадают с определенными экспериментально. Это указывает на достоверность найденных значений  $\beta_1$  и  $\beta_2$ .

#### Л и т е р а т у р а

1. Ван Фу-цзун, Ю.В. Норсеев, В.А. Халкин, ЧАО ТАО-НАНЬ. "Радиохимия", 5, №3, 351-355 (1963).
2. Ван Фу-цзун, Н.Г. Крылов, Ю.В. Норсеев, ЧАО ТАО-НАНЬ, В.А. Халкин. Сборник "Соосаждение и адсорбция радиоактивных элементов". Изд. "Наука" М-Л 1965 г. стр. 80.
3. Ю.В. Норсеев, ЧАО ТАО-НАНЬ, В.А. Халкин. "Радиохимия", 8, № 5, 497 (1966).
4. J. Robins, Analyst, 90, N 1073, 467 (1965).
5. Ф. Россоти, Х. Россоти. "Определение констант устойчивости и других констант равновесия в растворах". Изд. "Мир" М. 1965 стр. 290.
6. Ю.В. Норсеев. Диссертация. "Изучение новых неорганических и элементоорганических форм астатина". Дубна-Ленинград 1965 г., стр. 51.

Рукопись поступила в издательский отдел  
4 октября 1967 г.

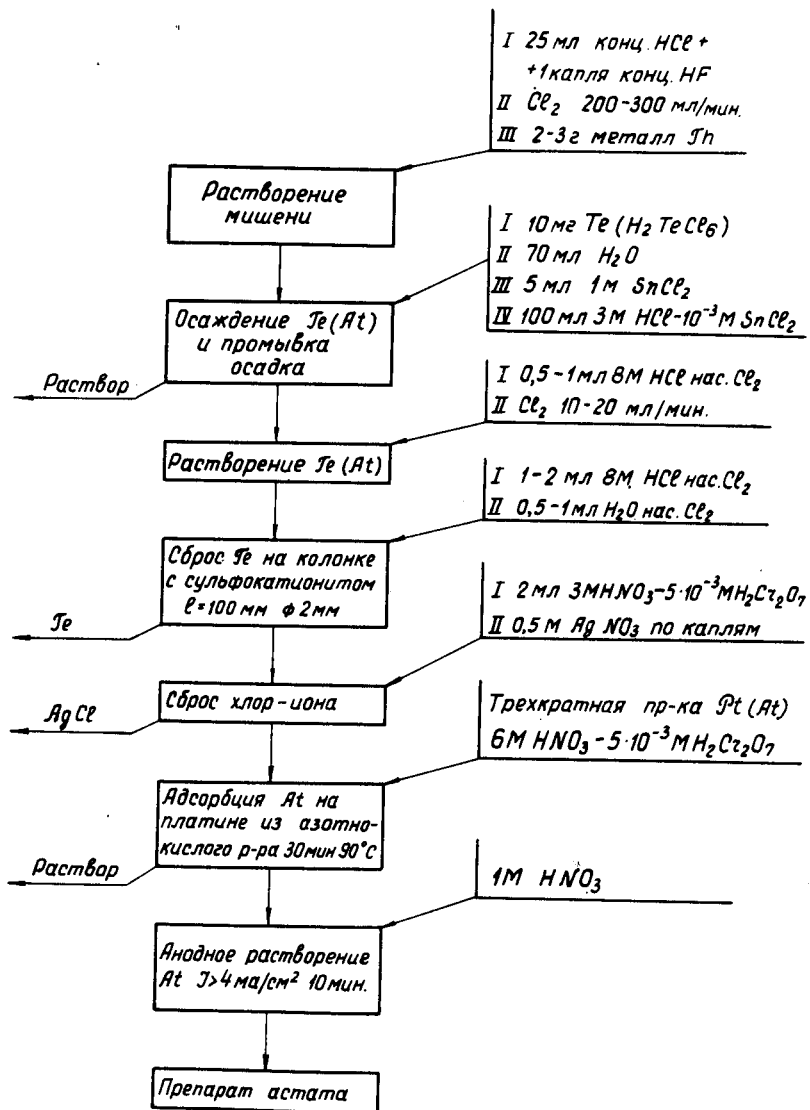


Рис. 1. Схема методики выделения радиохимически чистых препаратов астата из тория, облученного протонами с энергией 660 Мэв.

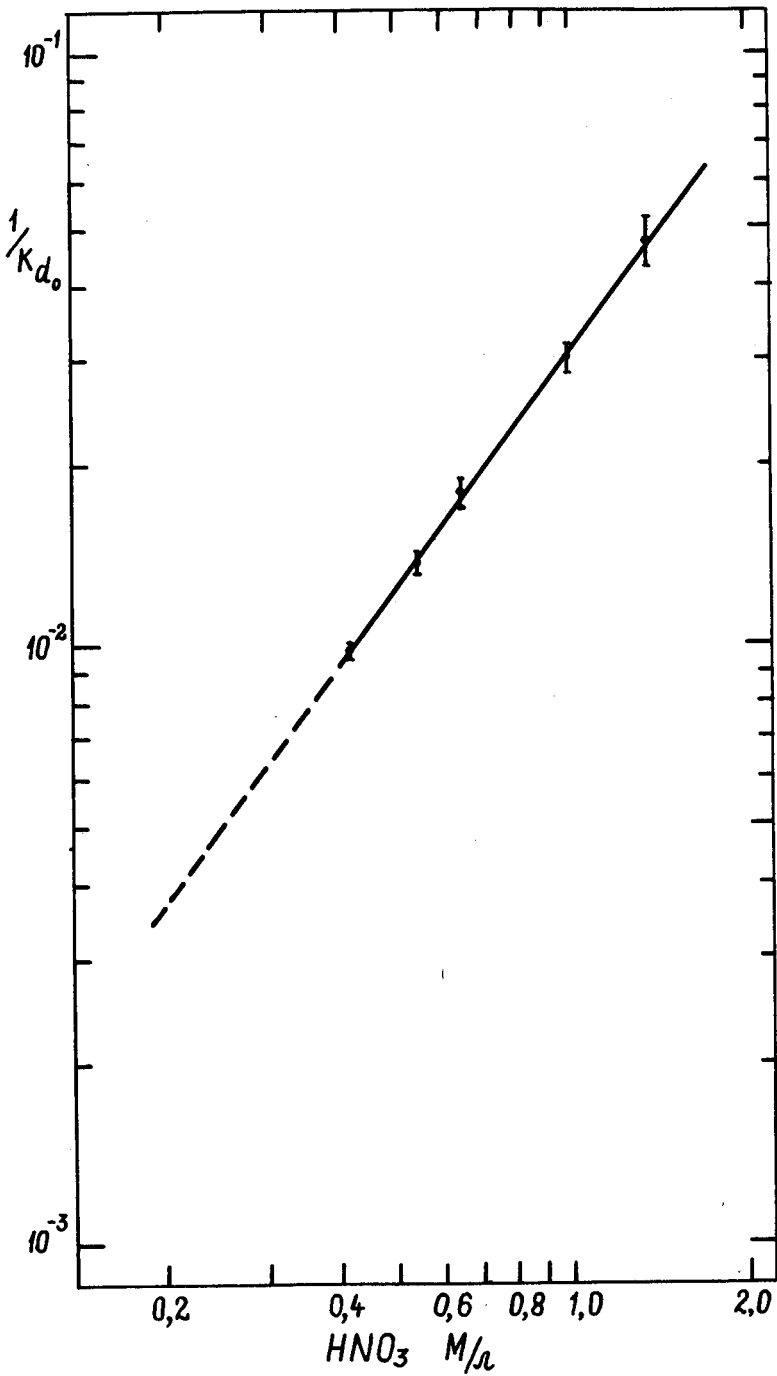


Рис. 2. Распределение катиона астата между азотной кислотой и сульфо-катионитом Дауэкс 50х8.

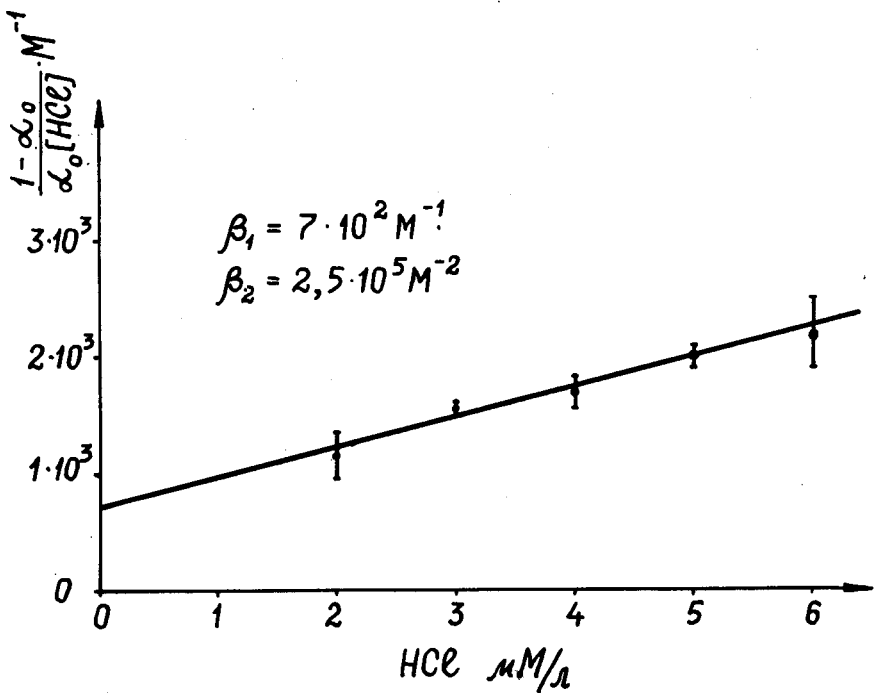


Рис. 3.